

Automatique

3. Rappels : systèmes classiques

Sylvie Icart
Sylvie.Icart@univ-cotedazur.fr

ELEC 3 & ROB 3
Polytech'Nice-Sophia

octobre 2022

1. Système du premier ordre

1.1 Définition :

Fonction de transfert :

$$G(p) = \frac{K}{1 + \tau p}$$

K gain statique, τ constante de temps

dimension K : [dimension sortie]/[dimension entrée]

dimension τ : temps (seconde)

Exemple :

- circuit RC série :

entrée : tension aux bornes du circuit, sortie : charge de la capacité

$$u(t) = Ri(t) + \frac{1}{C}q(t) = R\frac{dq}{dt}(t) + \frac{1}{C}q(t)$$

si $q_0 = 0$, alors $U(p) = RpQ(p) + \frac{1}{C}Q(p) = (Rp + \frac{1}{C})Q(p)$

fonction de transfert $G(p) = \frac{C}{1 + RCp}$

gain statique $K = C$, constante de temps $\tau = RC$ et si ...Cl q_0 ?

1.2 Réponse impulsionnelle

- CI nulles
- $e(t) = \delta(t)$, $E(p) = 1$

$$s(t) = \mathcal{L}^{-1}(G(p)) = \mathcal{L}^{-1}\left(\frac{K}{1 + \tau p}\right)$$

$$s(t) = g(t) = \frac{K}{\tau} e^{-\frac{t}{\tau}} u_h(t)$$

$$\text{TVI} : s(0^+) = \frac{K}{\tau}$$

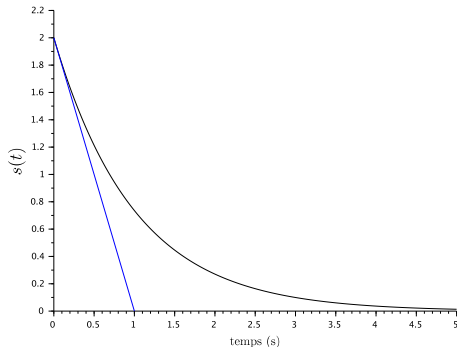
$$\text{TVF} : \lim_{t \rightarrow \infty} s(t) = 0,$$

pente à l'origine :

$$\frac{ds}{dt}(t)|_{t=0^+} = -\frac{K}{\tau^2} e^{-\frac{t}{\tau}}|_{t=0^+} = -\frac{K}{\tau^2}$$

Plus τ est faible, plus la réponse est rapide.

réponse impulsionnelle de $G(p) = \frac{2}{p+1}$



1.3 Réponse indicielle

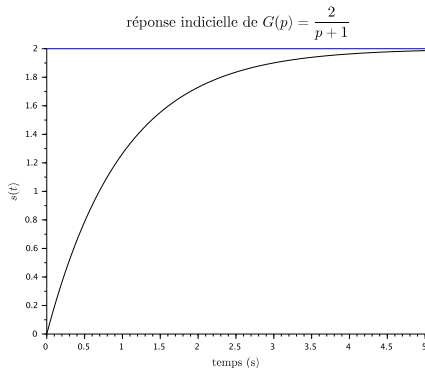
- CI nulles

- $e(t) = u_h(t)$, $E(p) = \frac{1}{p}$

$$s(t) = \mathcal{L}^{-1}(G(p)\frac{1}{p})$$

$$= \mathcal{L}^{-1}\left(\frac{K}{p(1+\tau p)}\right)$$

$$= \mathcal{L}^{-1}\left(K\left(\frac{1}{p} - \frac{1}{p + \frac{1}{\tau}}\right)\right)$$



$$s(t) = K(1 - e^{-\frac{t}{\tau}})u_h(t)$$

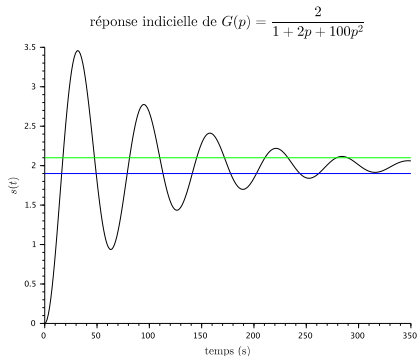
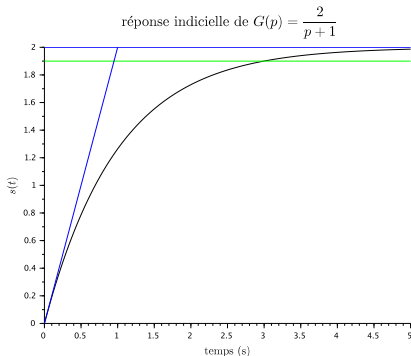
la sortie est une fonction strictement croissante : $\frac{ds}{dt}(t) = \frac{K}{\tau}e^{-\frac{t}{\tau}} > 0, \forall t$

- Régime permanent : $\lim_{t \rightarrow \infty} s(t) = \lim_{p \rightarrow 0} G(p) = K$

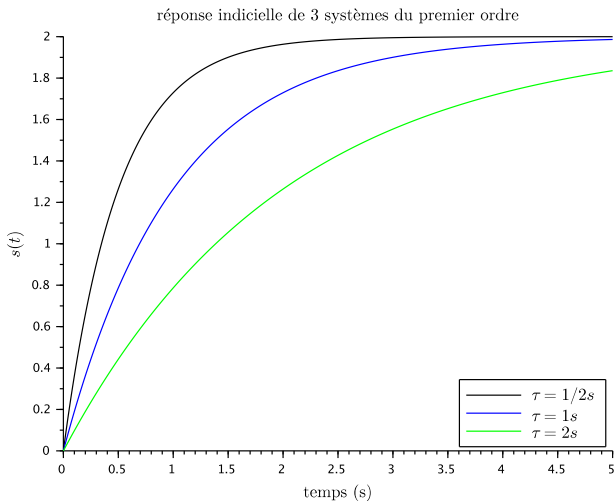
- Pente à l'origine :

$$\left. \frac{ds}{dt}(t) \right|_{t=0^+} = \frac{d}{dt} K(1 - e^{-\frac{t}{\tau}}) \Big|_{t=0} = \frac{K}{\tau} e^{-\frac{t}{\tau}} \Big|_{t=0} = \frac{K}{\tau}$$

- Temps de réponse à 5% : $\frac{|s(t) - K|}{K} < 5\%$ (cas général)



la sortie ne s'éloigne pas de $\pm 5\%$ de la valeur finale
 $s(t)$ monotone : $s(t_{5\%}) = 0.95K = -\tau \ln(0.05) \sim 3\tau$



cf les pôles correspondants : $-\frac{1}{\tau}$ ici -2,-1,-1/2 (plus τ est petit, plus le module du pôle est grand et plus la réponse est rapide)

1.4 Réponse harmonique

- si $e(t) = \sin \omega t u_h(t)$, si les CI sont nulles,

$$\begin{aligned} S(p) &= G(p) \frac{\omega}{p^2 + \omega^2} \\ &= \frac{K}{(1 + \tau p)} \frac{\omega}{p^2 + \omega^2} = \frac{\alpha}{p + \frac{1}{\tau}} + \frac{Ap + B}{p^2 + \omega^2} \end{aligned}$$

$$\alpha = \frac{K\omega\tau}{1 + \omega^2\tau^2},$$

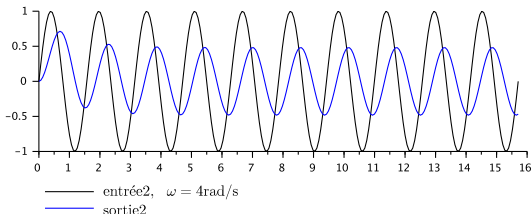
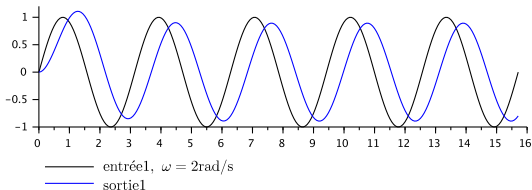
$$A = |G(j\omega)| \sin(\text{Arg}(G(j\omega))), B = \omega |G(j\omega)| \cos(\text{Arg}(G(j\omega)))$$

$$\text{or } G(j\omega) = \frac{K}{1 + j\omega\tau}$$

$$\text{d'où } |G(j\omega)| = \frac{K}{\sqrt{1 + \omega^2\tau^2}} \text{ et } \text{Arg}(G(j\omega)) = -\arctan \omega\tau$$

$$s(t) = \underbrace{\frac{K\omega\tau}{1 + \omega^2\tau^2} e^{-\frac{t}{\tau}}}_{\text{régime transitoire}} + \underbrace{\frac{K}{\sqrt{1 + \omega^2\tau^2}} \sin(\omega t - \arctan \omega\tau)}_{\text{régime permanent}}, t \geq 0$$

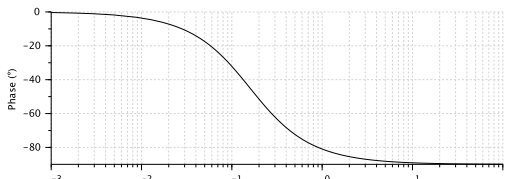
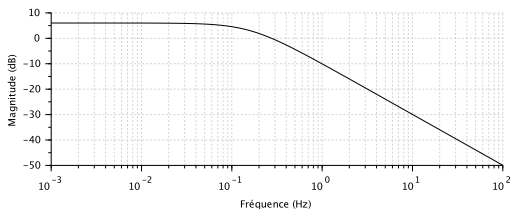
$$G(p) = \frac{2}{p+1}$$



1.5 Réponse fréquentielle

Etude de $G(j\omega) = \frac{K}{1 + j\omega\tau}$ en fonction de ω (ou $f = \frac{\omega}{2\pi}$).

- $|G(j\omega)| = \frac{K}{\sqrt{1 + \omega^2\tau^2}}$
- $\text{Arg}(G(j\omega)) = -\arctan \omega\tau$



Tracé de Bode asymptotique du module

- BF : $|G(j\omega)| \underset{0}{\sim} K$, soit : $|G(j\omega)|_{\text{dB}} \underset{0}{\sim} 20 \log K = K_{\text{dB}}$

asymptote horizontale en BF

- HF : $|G(j\omega)| \underset{\infty}{\sim} \frac{K}{\omega\tau}$, soit

$$|G(j\omega)|_{\text{dB}} \underset{\infty}{\sim} 20 \log\left(\frac{K}{\omega\tau}\right) = 20 \log K - 20 \log \tau - 20 \log \omega$$

asymptote oblique en HF : droite de pente -20 dB/décade, passant par K_{dB} pour $\omega = \frac{1}{\tau}$.

Le point d'intersection des asymptotes a pour abscisse $\omega = \frac{1}{\tau}$.

ω_1 et ω_2 sont reliées par une décade si $\omega_2 = 10\omega_1$

$$\begin{aligned} |G(j\omega_1)|_{\text{dB}} &\sim 20 \log K - 20 \log \tau - 20 \log \omega_1 \\ |G(j\omega_2)|_{\text{dB}} &\sim 20 \log K - 20 \log \tau - 20 \log \omega_2 \\ &\sim 20 \log K - 20 \log \tau - 20 \log \omega_1 - 20 \end{aligned}$$

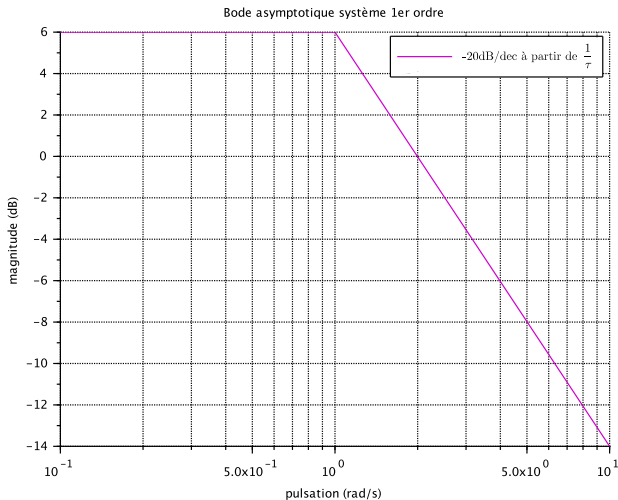
penne -20 dB/dec : quand on multiplie la fréquence du signal d'entrée par 10, alors, en régime permanent, l'amplitude du signal de sortie est divisée par 10

ω_1 et ω_3 sont reliées par une octave si $\omega_3 = 2\omega_1$

$$|G(j\omega_3)|_{\text{dB}} \sim 20 \log K - 20 \log \tau - 20 \log \omega_1 - 20 \log 2$$

penne -6 dB/oct : quand on multiplie la fréquence du signal d'entrée par 2, alors, en régime permanent, l'amplitude du signal de sortie est divisée par 2

Tracé de Bode asymptotique du module



exemple : $K = 2, \tau = 1s$

- Pulsation de coupure d'un système du premier ordre :

$$|G(j\omega_c)| = \frac{|G(0)|}{\sqrt{2}} \text{ ou } |G(j\omega_c)|_{\text{dB}} = |G(0)|_{\text{dB}} - 3, \text{ soit ici}$$

$$|G(j\omega_c)| = \frac{K}{\sqrt{1 + \omega_c^2 \tau^2}} = \frac{K}{\sqrt{2}}$$

Pulsation de coupure d'un système du premier ordre :

$$\omega_c = \frac{1}{\tau}$$

Le point d'intersection des asymptotes (cassure) a pour abscisse $\omega_c = \frac{1}{\tau}$.

Tracé de Bode asymptotiques de l'argument :

$$G(j\omega) = \frac{K}{1 + j\omega\tau}, \text{ d'où}$$

$$\text{Arg}(G(j\omega)) = -\arctan \omega\tau$$

Rmq : $\text{Arg}(G(j\omega_c)) = -45^\circ$.

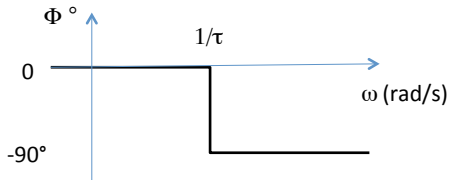
Approximation "grossière" (en marche d'escalier) :

- BF : $\text{Arg}(G(j\omega)) \underset{0}{\sim} \text{Arg}(K)$,
soit

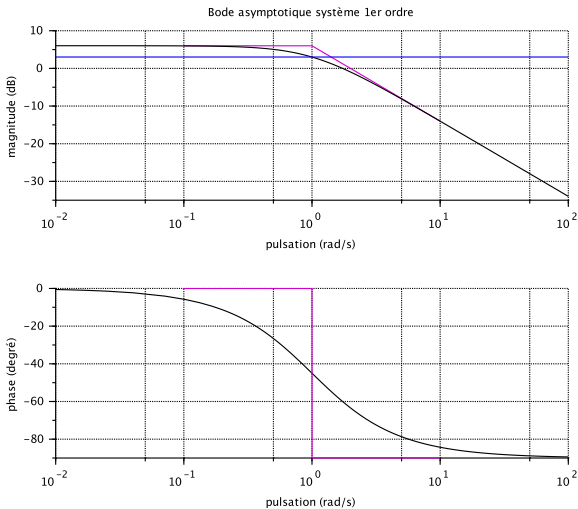
$$\text{Arg}(G(j\omega)) \underset{0}{\sim} 0^\circ$$

- HF :
 $\text{Arg}(G(j\omega)) \underset{\infty}{\sim} \text{Arg} \frac{K}{j\omega\tau}$, soit

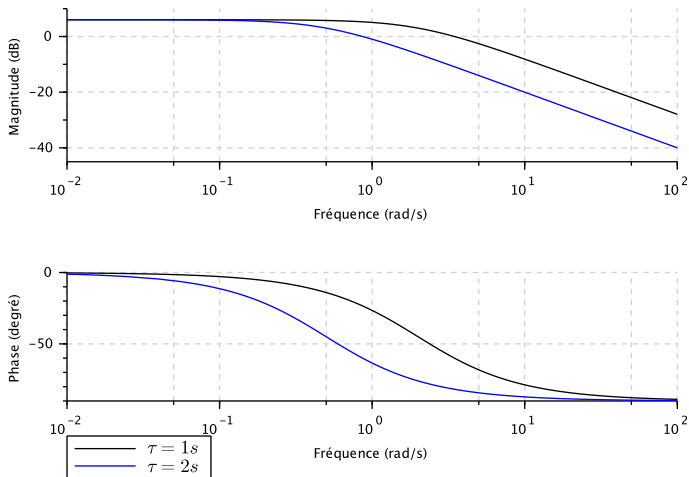
$$\text{Arg}(G(j\omega)) \underset{\infty}{\sim} -90^\circ$$



Tracés de Bode asymptotiques et "réels"



exemple : $K = 2, \tau = 1s$

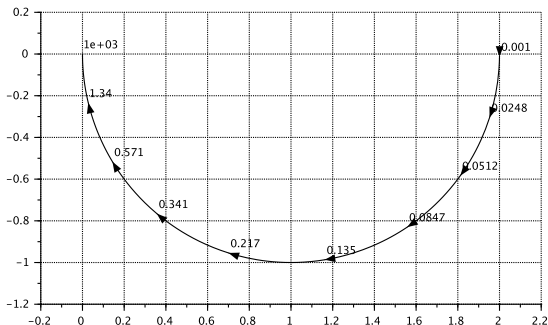


Plus τ est faible, plus la bande passante est grande.

Diagramme de Nyquist

demi-cercle de centre $\Omega(\frac{K}{2}, 0)$ et de rayon $\frac{K}{2}$:

$$\text{Nyquist de } G(p) = \frac{2}{p+1}$$



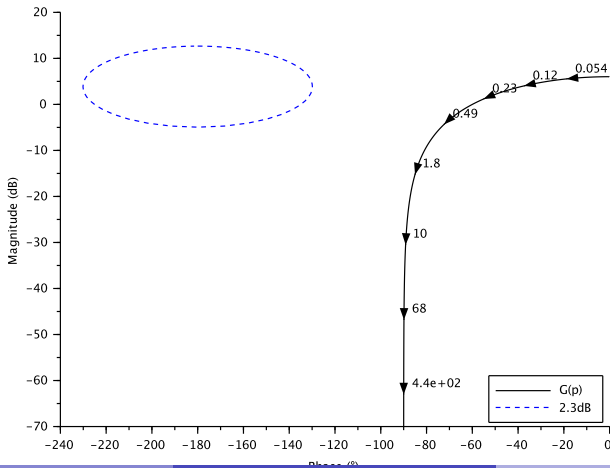
en effet : $\Re = \dots$; $\Im = \dots$

Diagramme de Black

gain statique K (module pour $f = 0\text{Hz}$)

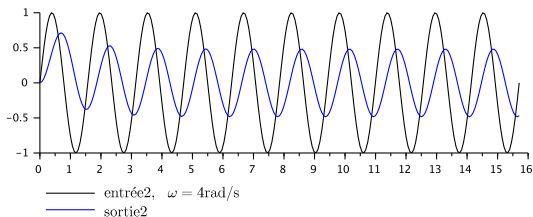
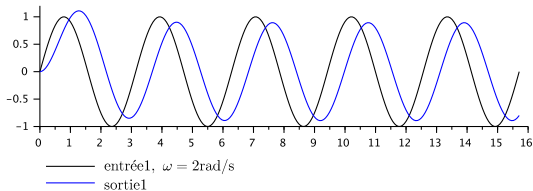
asymptote verticale (argument en $-\frac{\pi}{2}$ rad ou -90°)

$$\text{Black de } G(p) = \frac{2}{p+1}$$



réponse à des sinusoïdes :

$$G(p) = \frac{2}{p+1}$$



sortie 2 plus atténuée que sortie 1 : $\omega_2 > \omega_1$ ($T_2 < T_1$)

2. Système du second ordre

2.1 Définition

Fonction de transfert :

$$G(p) = \frac{K}{1 + 2\zeta \frac{p}{\omega_0} + \frac{p^2}{\omega_0^2}} = \frac{K\omega_0^2}{p^2 + 2\zeta\omega_0 p + \omega_0^2}$$

K gain statique, ω_0 pulsation propre, ζ amortissement

dimension K : [dimension sortie]/[dimension entrée]

dimension ω_0 : inverse d'un temps (rad/s)

dimension ζ : adimensionnel

Exemple : circuit RLC série

$$u(t) = L \frac{d^2 q}{dt^2}(t) + R \frac{dq}{dt}(t) + \frac{1}{C} q(t)$$

$$K = C, \omega_0 = \frac{1}{\sqrt{CL}}, \zeta = \frac{1}{2} R \sqrt{\frac{C}{L}}$$

Pôles de la fonction de transfert :

$$p^2 + 2\zeta\omega_0 p + \omega_0^2 = 0$$

discriminant réduit :

$$\Delta' = (\zeta\omega_0)^2 - \omega_0^2 = \omega_0^2(\zeta^2 - 1)$$

- si $\zeta > 1$, pôles réels négatifs, système **amorti** ou apériodique.
- si $\zeta < 0$, système instable (pôles à $\Re > 0$).
- si $\zeta = 1$, deux pôles réels négatifs confondus, système **apériodique critique**.
- si $0 < \zeta < 1$, pôles complexes conjugués à $\Re < 0$, système **non amorti**.

2.2 Réponse indicielle

$$s(t) = \mathcal{L}^{-1}\left(G(p)\frac{1}{p}\right) = \mathcal{L}^{-1}\left(\frac{K\omega_0^2}{p(p^2 + 2\zeta\omega_0 p + \omega_0^2)}\right)$$

- *système amorti* $\zeta > 1$:
2 pôle réels négatifs ($G(p)$) et un pôle nul (échelon)

$$S(p) = \frac{\alpha}{p} + \frac{\beta}{1 + T_0 p} + \frac{\gamma}{1 + T_1 p}$$

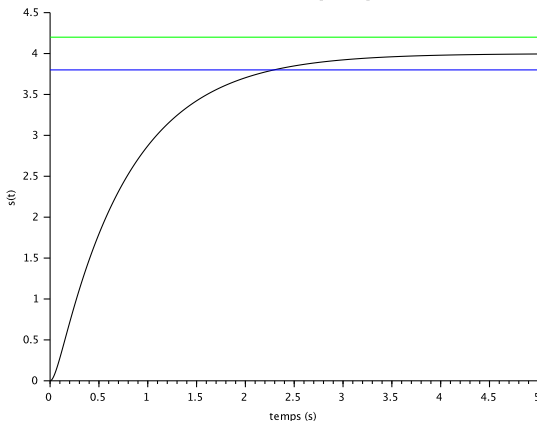
$$s(t) = K \left(1 + \frac{1}{T_0 - T_1} (T_1 e^{-\frac{t}{T_1}} - T_0 e^{-\frac{t}{T_0}}) \right) u_h(t)$$

$$\text{avec } T_0 = \frac{1}{\omega_0(\zeta + \sqrt{\zeta^2 - 1})} \text{ et } T_1 = \frac{1}{\omega_0(\zeta - \sqrt{\zeta^2 - 1})}, \quad (T_0 < T_1)$$

● Tracé :

- ▶ Pente à l'origine : $\frac{ds}{dt}(t)|_{t=0^+} = \frac{K}{T_0 - T_1}(-e^{-\frac{t}{T_1}} + e^{-\frac{t}{T_0}})|_{t=0^+} = 0$
- ▶ Régime permanent : $\lim_{t \rightarrow \infty} s(t) = \lim_{p \rightarrow 0} G(p) = K$
- ▶ fonction monotone : $\frac{ds}{dt}(t) > 0$

réponse indicielle de $G(p) = \frac{100}{p^2 + 20p + 25}$ ($\zeta = 2$)



- système non amorti $0 < \zeta < 1$:

pôles complexes conjugués $p_{0,1} = -\omega_0(\zeta \pm j\sqrt{1-\zeta^2})$

$\Re(p_{0,1}) = -\zeta\omega_0$, $\Im(p_{0,1}) = \pm\omega_0\sqrt{1-\zeta^2}$, $|p_{0,1}| = \omega_0$

$$S(p) = \frac{K\omega_0^2}{p(p^2 + 2\zeta\omega_0 p + \omega_0^2)} = \frac{\alpha}{p} + \frac{Ap + B}{(p + \zeta\omega_0)^2 + \omega_0^2(1-\zeta^2)}$$

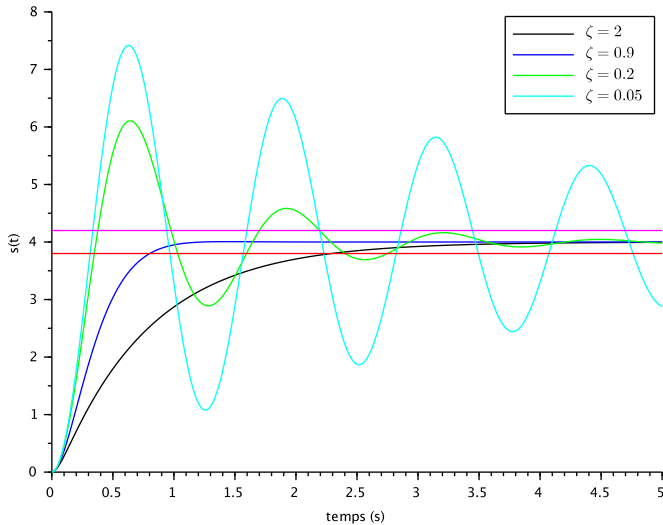
$$s(t) = K \left(1 - \frac{e^{-\zeta\omega_0 t}}{\sqrt{1-\zeta^2}} \cos(\omega_0\sqrt{1-\zeta^2}t - \text{atan} \frac{\zeta}{\sqrt{1-\zeta^2}}) \right) u_h(t)$$

- ▶ régime permanent : $\lim_{t \rightarrow \infty} s(t) = \lim_{p \rightarrow 0} G(p) = K$
- ▶ pseudo-période des oscillations : $T_p = \frac{2\pi}{\omega_0\sqrt{1-\zeta^2}}$
- ▶ premier dépassement relatif

$$D = \frac{s(\frac{T_p}{2})}{K} = e^{-\frac{\pi\zeta}{\sqrt{1-\zeta^2}}}$$

ne dépend que de l'amortissement !

réponse indicielle de $G(p) = \frac{100}{p^2 + 10\zeta p + 25}$ ($K = 4; \omega_0 = 5 \text{ rad/s}$)



Plus l'amortissement est grand, plus la réponse est amortie.

temps de réponse à 5% ... calcul complexe
valeur approchée :

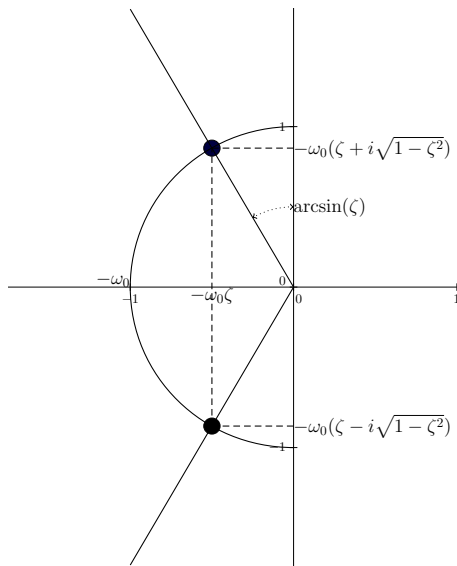
$$t_{5\%} \sim \frac{3}{\zeta \omega_0}$$

plus l'amortissement est petit, plus le temps de réponse est long.

Le dépassement ne dépend que de l'amortissement :

- se donner un dépassement (relatif) revient à se donner ζ (argument du pôle)
- si on impose de plus un temps de réponse alors on obtient ω_0 (module du pôle)

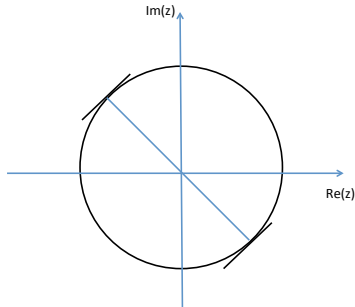
Pôles d'un système du second ordre



2.3 Réponse fréquentielle

$$G(j\omega) = \frac{K}{1 - (\frac{\omega}{\omega_0})^2 + j2\zeta\frac{\omega}{\omega_0}} \text{ en fonction de } \omega \text{ (ou } f = \frac{\omega}{2\pi}).$$

- $|G(j\omega)| = \frac{K}{\sqrt{(1 - (\frac{\omega}{\omega_0})^2)^2 + 4\zeta^2(\frac{\omega}{\omega_0})^2}}$
- $\text{Arg}(G(j\omega)) = -\arctan \frac{2\zeta\frac{\omega}{\omega_0}}{1 - (\frac{\omega}{\omega_0})^2}$ (attention si $\omega > \omega_0, \pi - \arctan$)



Tracé de Bode asymptotique du module

- BF : $|G(j\omega)| \underset{0}{\sim} K$, soit : $|G(j\omega)|_{\text{dB}} \underset{0}{\sim} 20 \log K = K_{\text{dB}}$

asymptote horizontale en BF

- HF : $|G(j\omega)| \underset{\infty}{\sim} \frac{K\omega_0^2}{\omega^2}$, soit

$$|G(j\omega)|_{\text{dB}} \underset{\infty}{\sim} 20 \log\left(\frac{K\omega_0^2}{\omega^2}\right) = 20 \log K\omega_0^2 - 40 \log \omega$$

asymptote oblique en HF : droite de pente -40 dB/décade,

Le point d'intersection des asymptotes a pour abscisse $\omega = \omega_0$.

en HF :

- ▶ quand on multiplie la fréquence du signal d'entrée par 10, en régime permanent l'amplitude du signal de sortie est divisée par 100
- ▶ quand on multiplie la fréquence du signal d'entrée par 2, en régime permanent, l'amplitude du signal de sortie est divisée par 4 (-12dB/oct)

Tracé de Bode asymptotique de l'argument :

$$G(j\omega) = \frac{K}{1 - \left(\frac{\omega}{\omega_0}\right)^2 + j2\zeta\frac{\omega}{\omega_0}}, \text{ d'où}$$

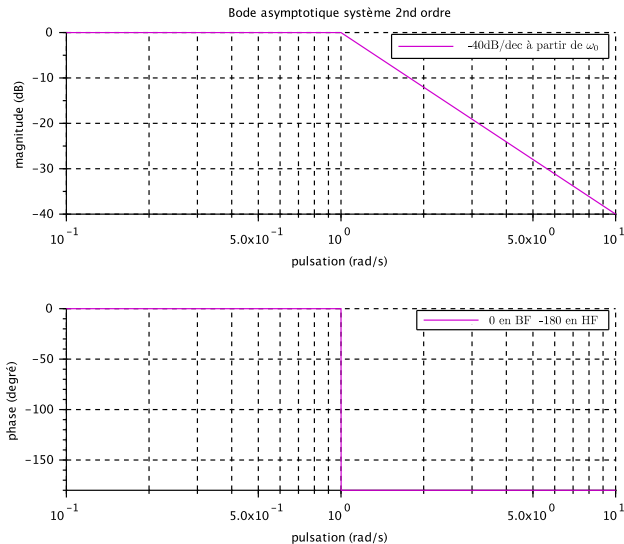
$$\text{Arg}(G(j\omega)) = -\arctan \frac{2\zeta\frac{\omega}{\omega_0}}{1 - \left(\frac{\omega}{\omega_0}\right)^2}$$

Rmq : $\text{Arg}(G(j\omega_0)) = -90^\circ$.

Approximation "grossière" (en marche d'escalier) :

- BF : $\text{Arg}(G(j\omega)) \underset{0}{\sim} \text{Arg}(K)$, soit $\text{Arg}(G(j\omega)) \underset{0}{\sim} 0^\circ$
- HF : $\text{Arg}(G(j\omega)) \underset{\infty}{\sim} \text{Arg}\frac{-K\omega_0^2}{\omega^2}$, soit $\text{Arg}(G(j\omega)) \underset{\infty}{\sim} -180^\circ$

Tracés asymptotiques

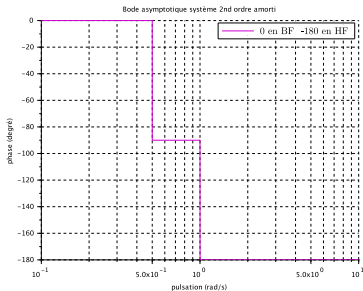
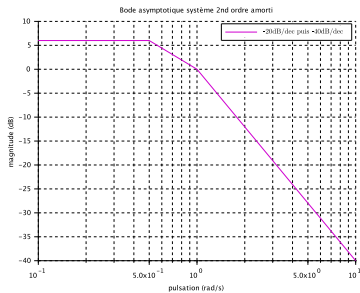


Tracés asymptotiques second ordre amorti :

$$G(p) = \frac{K}{(1 + T_0 p)(1 + T_1 p)} = G_0(p)G_1(p)$$

- $|G(j\omega)|_{dB} = |G_0(j\omega)|_{dB} + |G_1(j\omega)|_{dB}$
- $Arg(G(j\omega)) = Arg(G_0(j\omega)) + Arg(G_1(j\omega))$

Tracés asymptotiques second ordre amorti



Étude du module ("courbe réelle")

$$|G(j\omega)| = \frac{K}{\sqrt{(1 - (\frac{\omega}{\omega_0})^2)^2 + 4\zeta^2(\frac{\omega}{\omega_0})^2}} \quad (\text{en part. } |G(j\omega_0)| = \frac{K}{2\zeta})$$

Fonction monotone ? ...

- $\frac{d|G(j\omega)|}{d\omega} = 0$ ssi $\zeta < \frac{\sqrt{2}}{2}$ (et $\zeta > 0$) : **Système résonant**
 - ▶ module maximum pour

$$\omega_R = \omega_0 \sqrt{1 - 2\zeta^2}$$

- ▶ valeur maximum du gain (gain à la résonance) :

$$M = \frac{K}{2\zeta\sqrt{1 - \zeta^2}} \quad \text{plus } \zeta \text{ petit, plus } M \text{ grand}$$

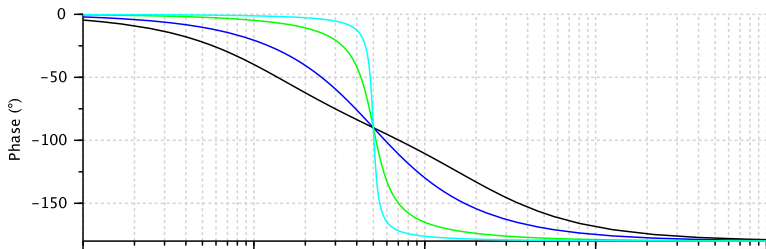
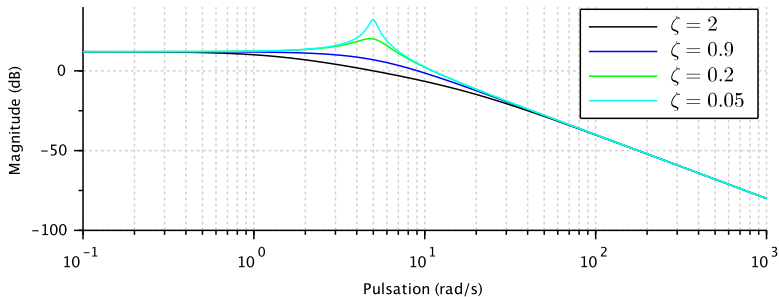
- ▶ coefficient de surtension :

$$Q = \frac{1}{2\zeta\sqrt{1 - \zeta^2}}$$

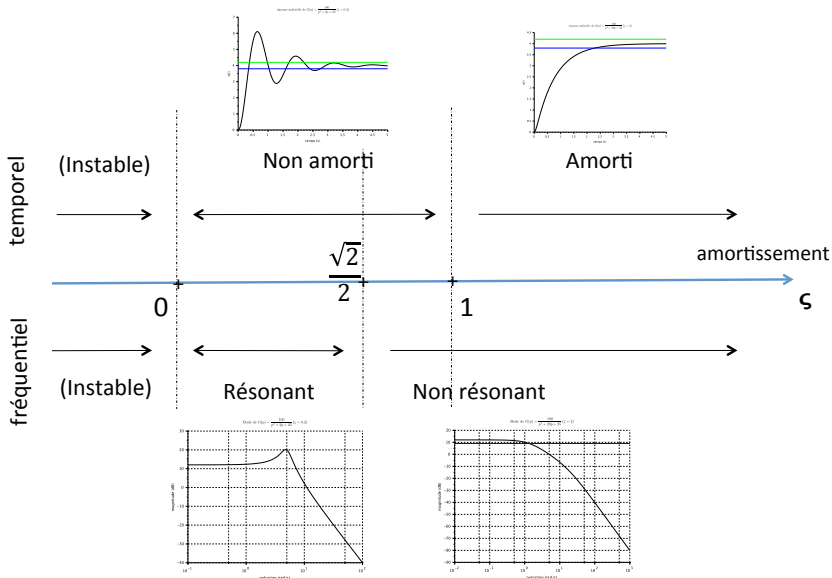
- **Système non résonant** ssi $\zeta > \frac{\sqrt{2}}{2}$: $|G(j\omega)|$ est une fonction décroissante de ω

Exemple : $K = 4, \omega_0 = 5 \text{ rad/s}$

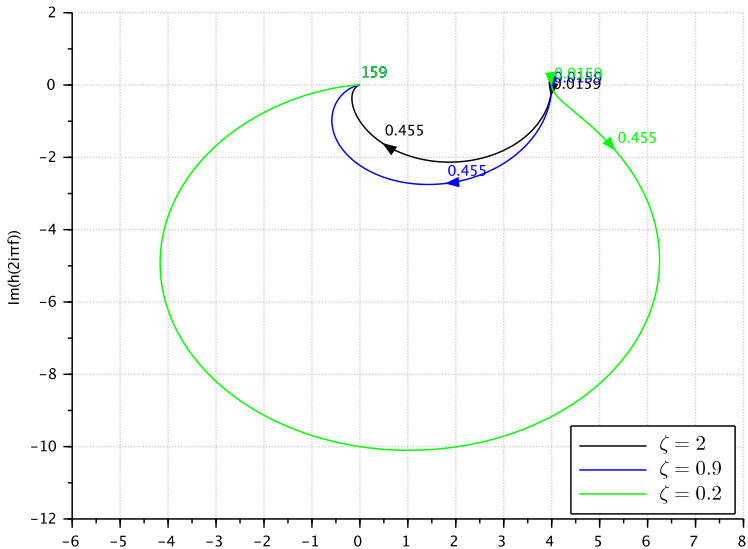
Bode 2nd ordre, $K = 4, \omega_0 = 5 \text{ rad/s}$



Influence de l'amortissement



- Plan de Nyquist :

Nyquist 2nd ordre, $K = 4, \omega_0 = 5rad/s$ 

- Plan de Black :

